

FIG. 1

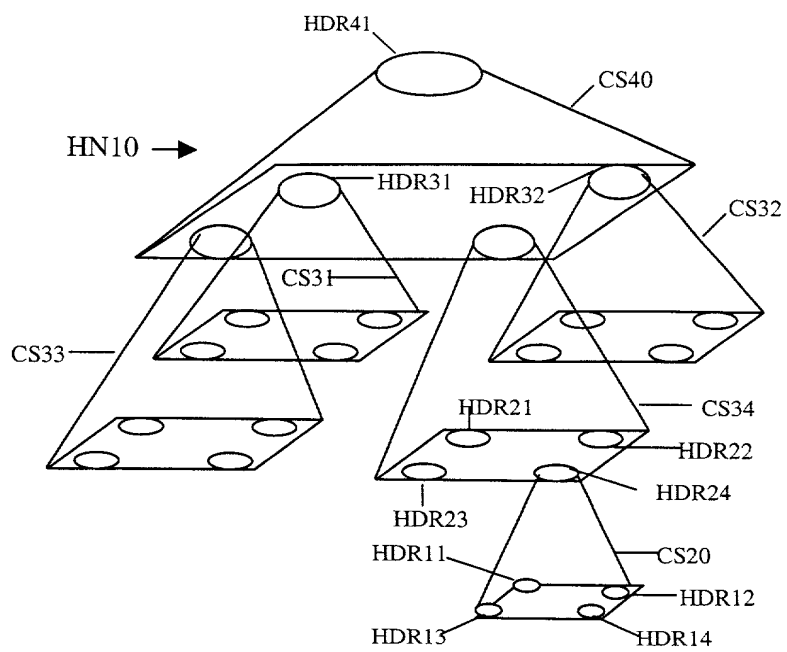


FIG. 2

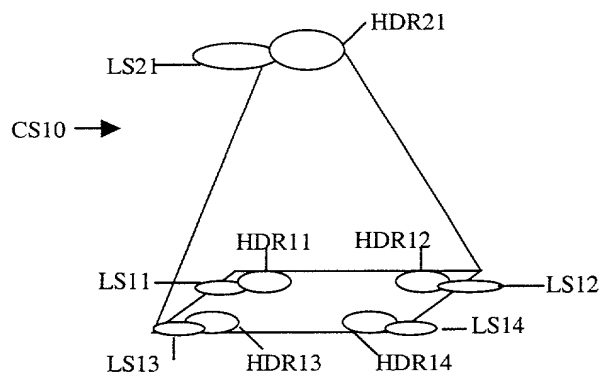


FIG. 3

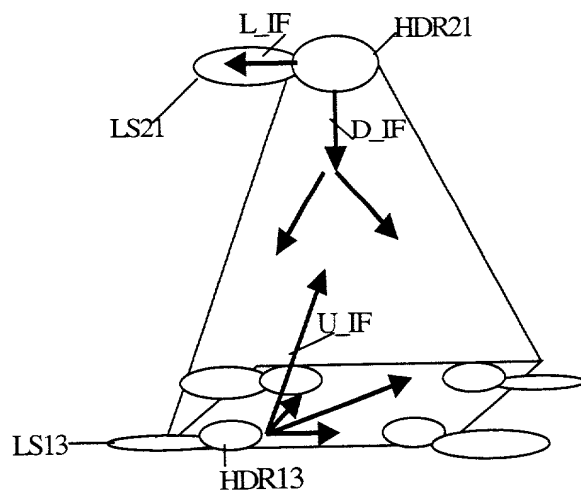


FIG. 4

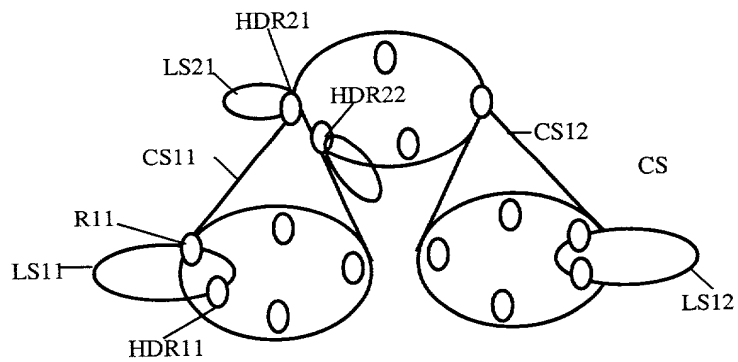


FIG. 5

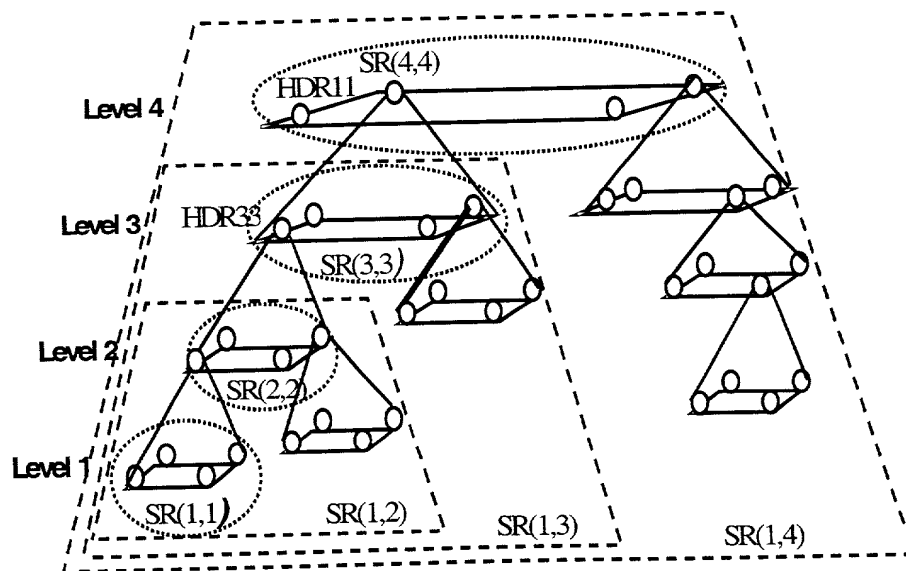


FIG. 6

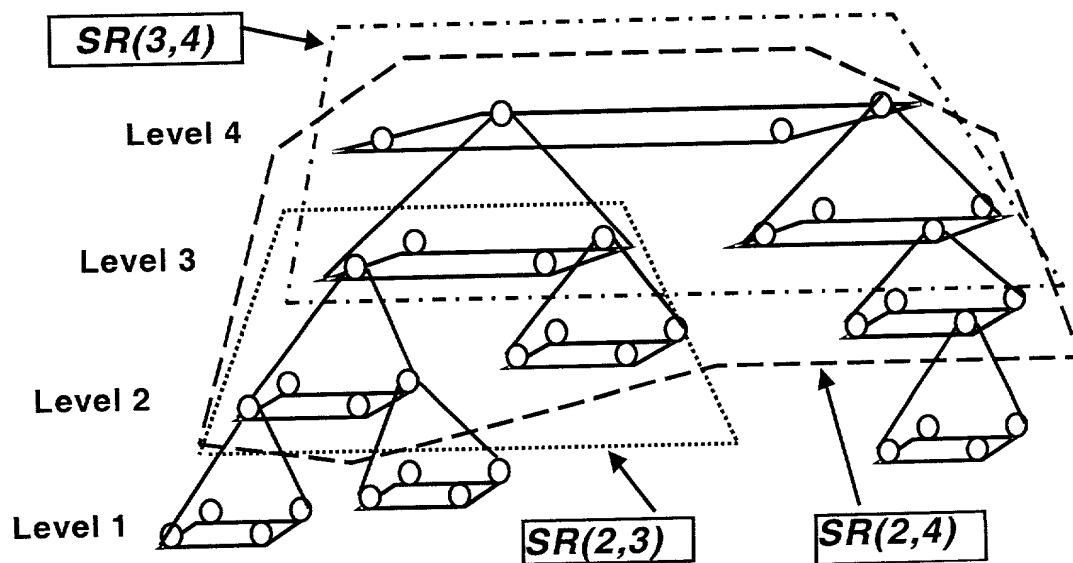


FIG. 7

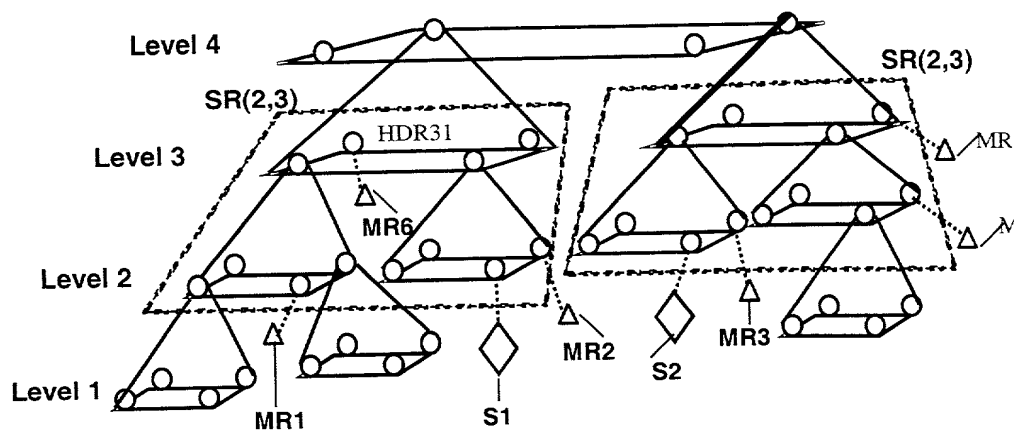


FIG 8

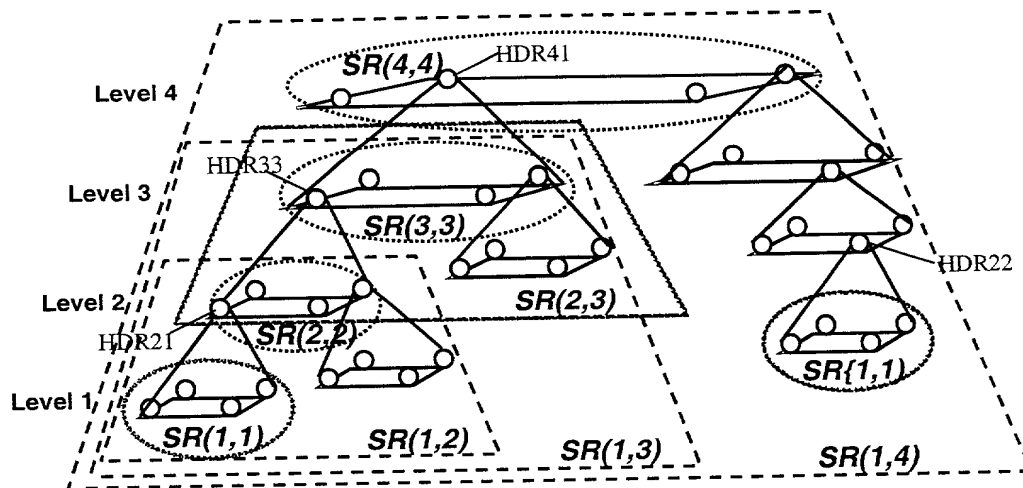


FIG. 9

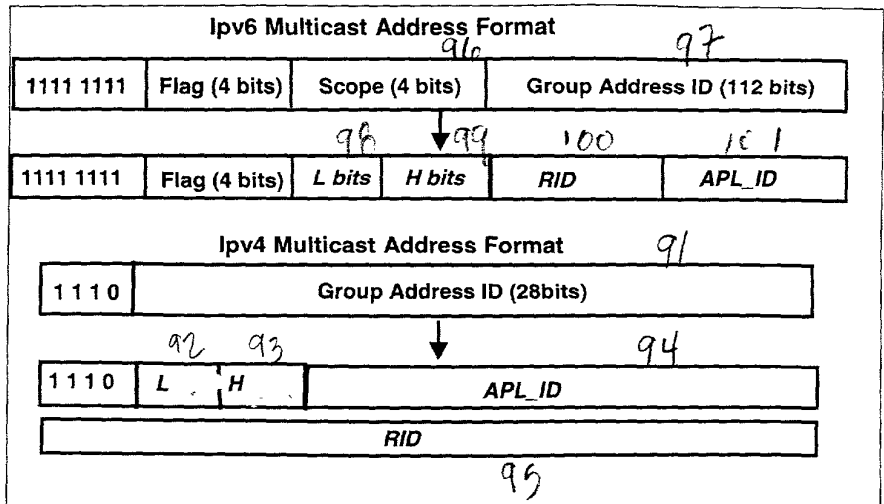


FIG. 10

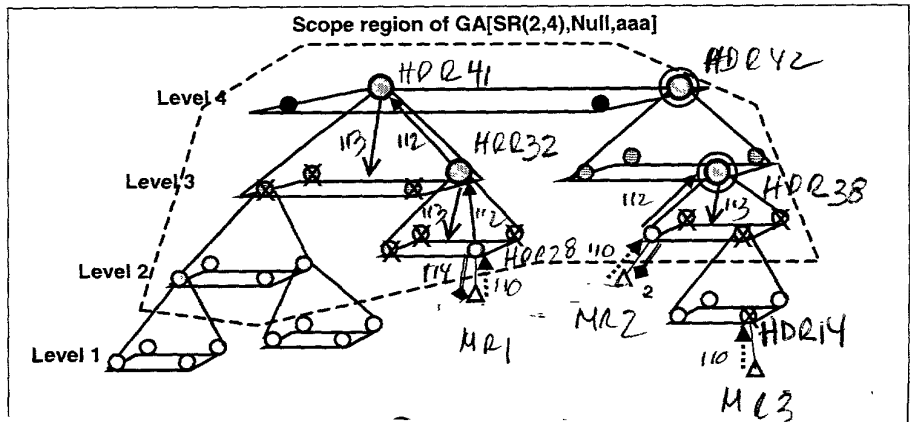


Fig 11

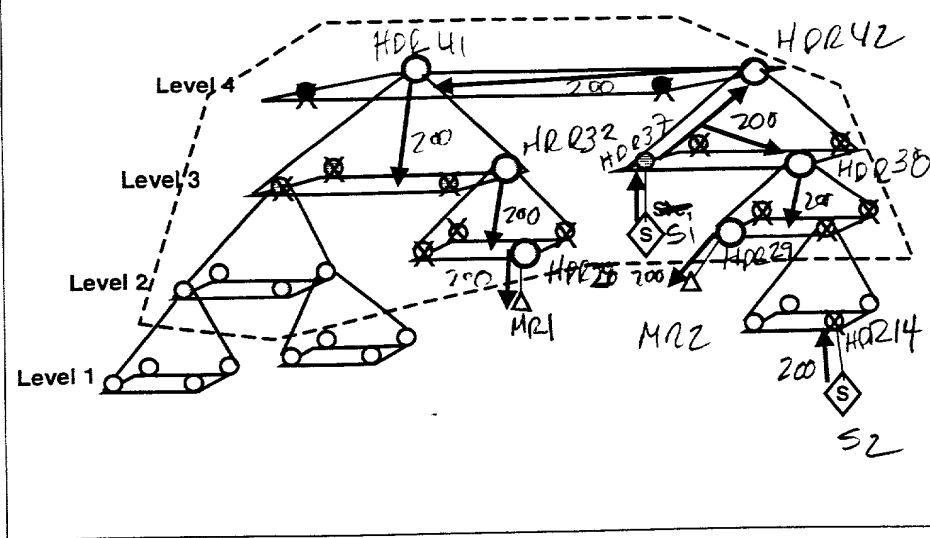


Fig 12

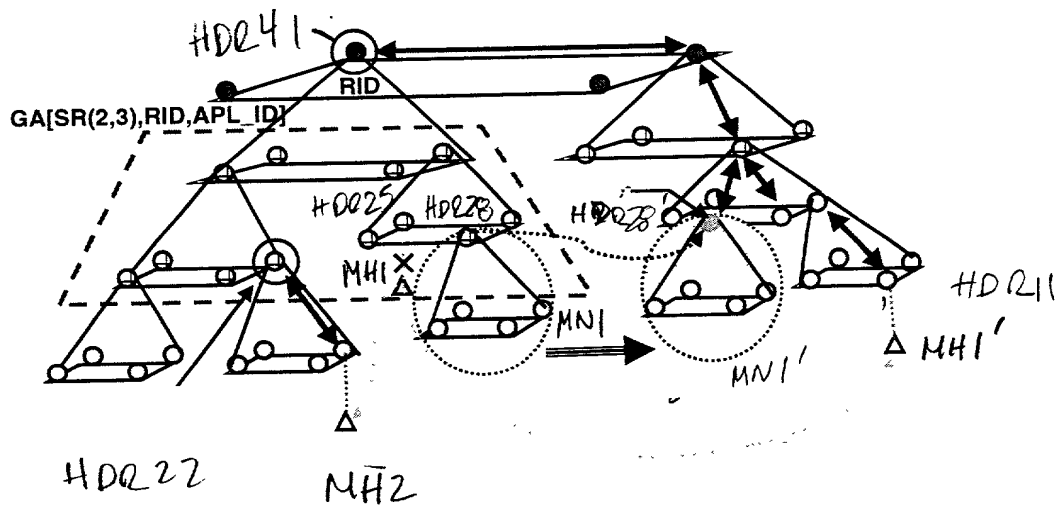


FIG. 13

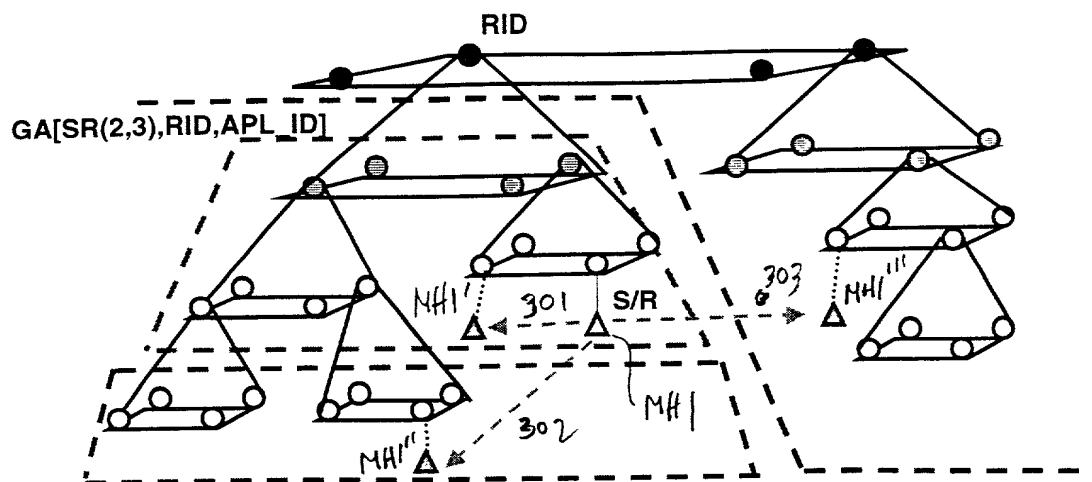


FIG. 14

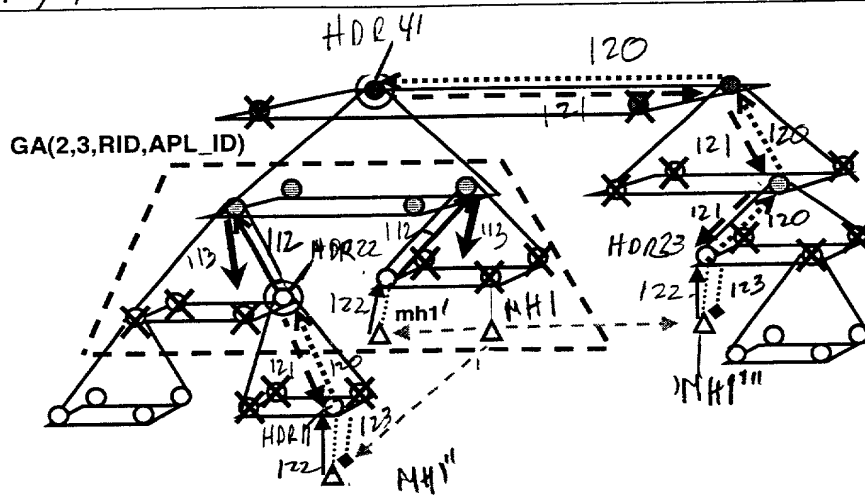






Fig. 17

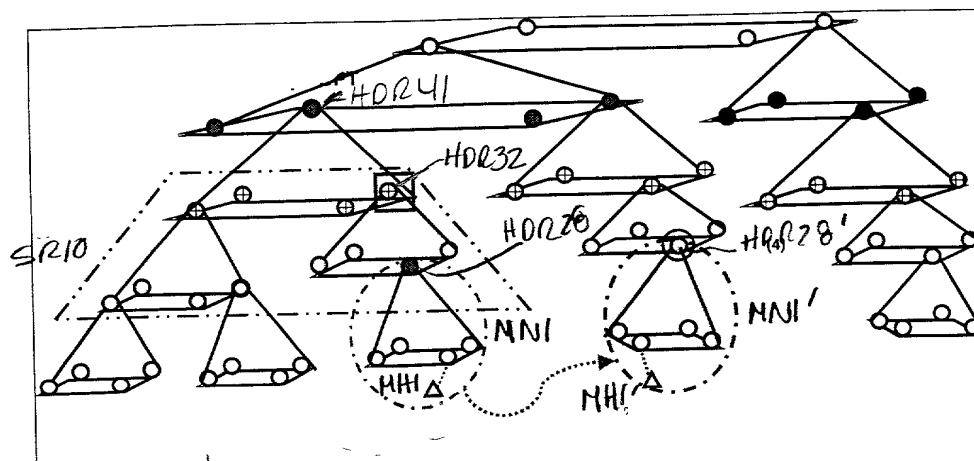


Fig. 18

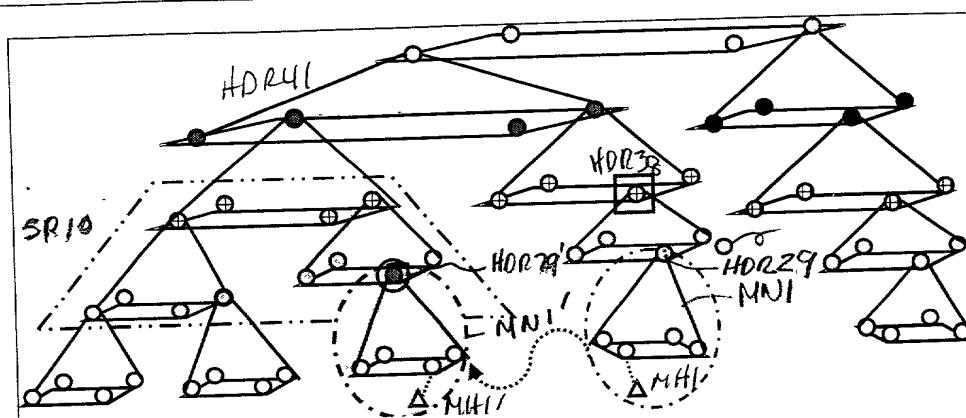


Fig. 19

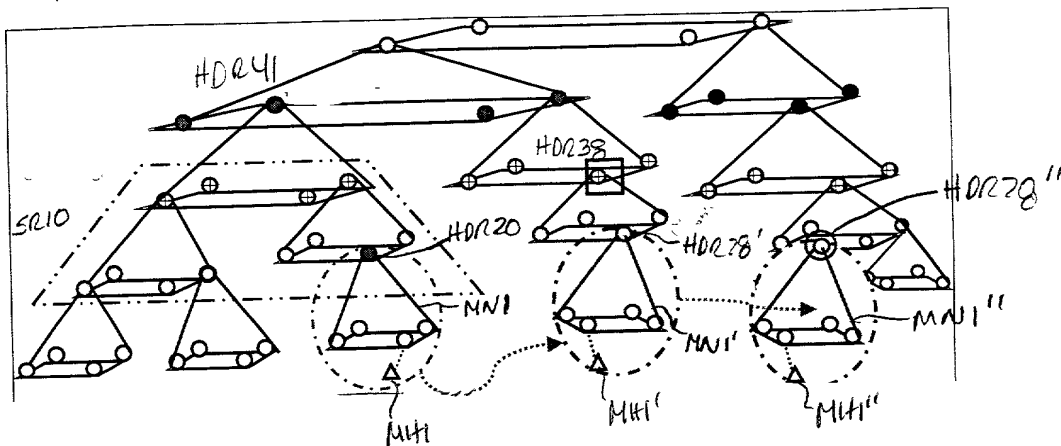


Fig. 20

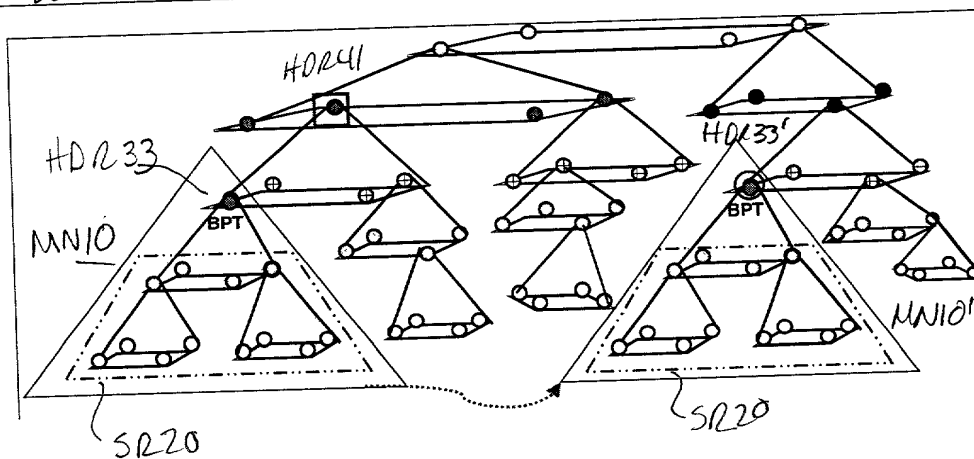


FIG. 21 A

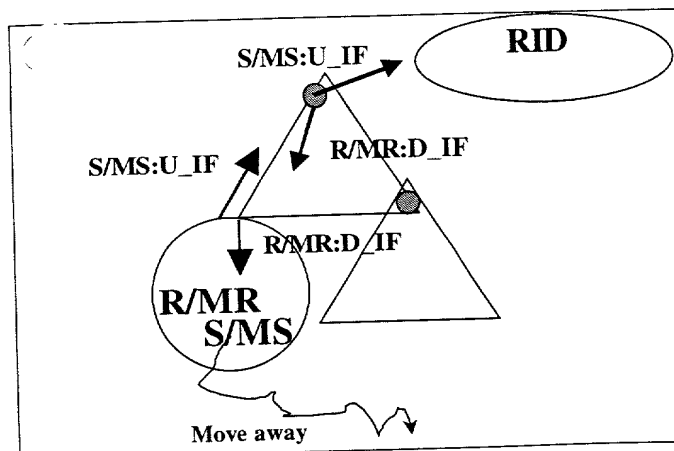


FIG. 21 B

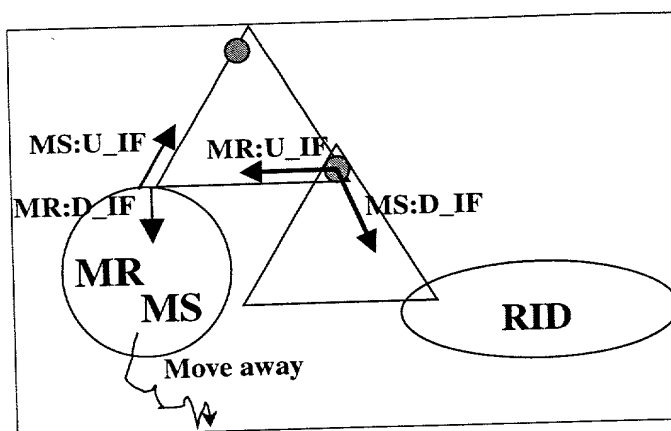


FIG. 21 C

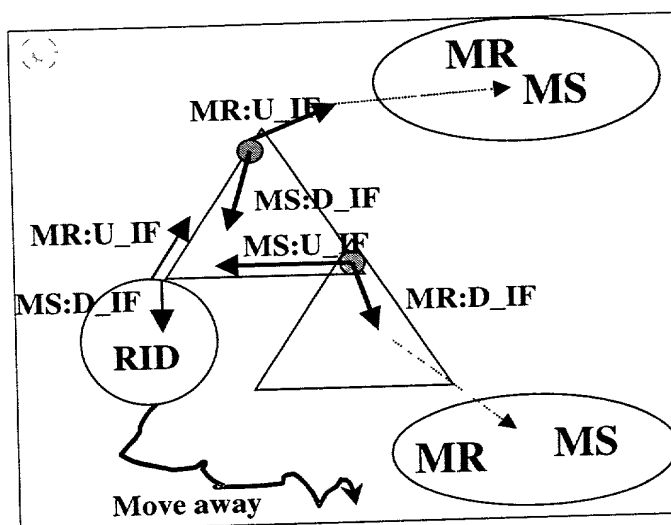




Fig. 24

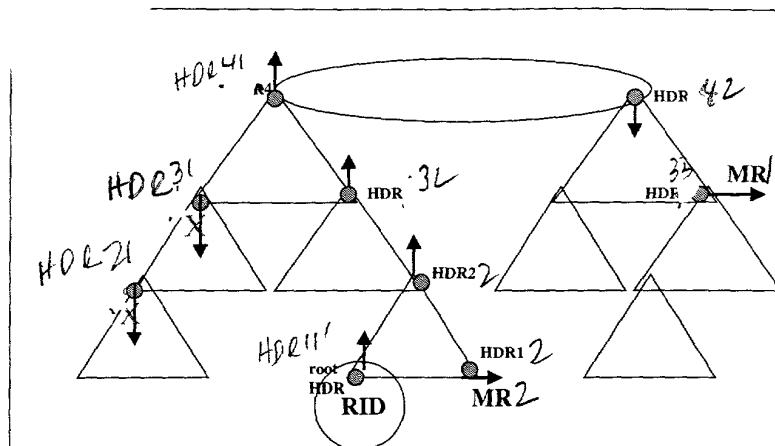


Fig. 25

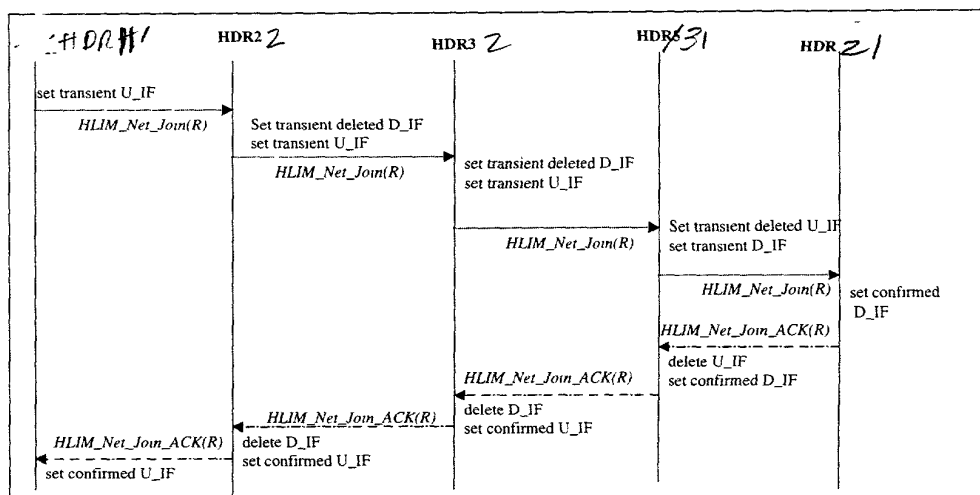


Fig. 26

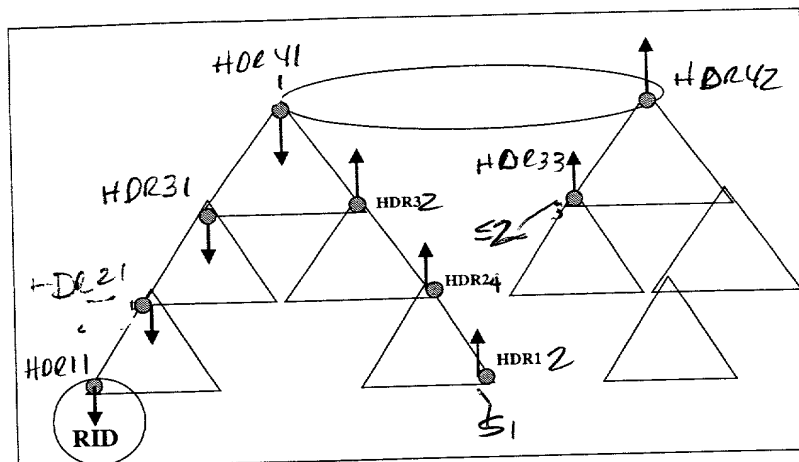


Fig. 27

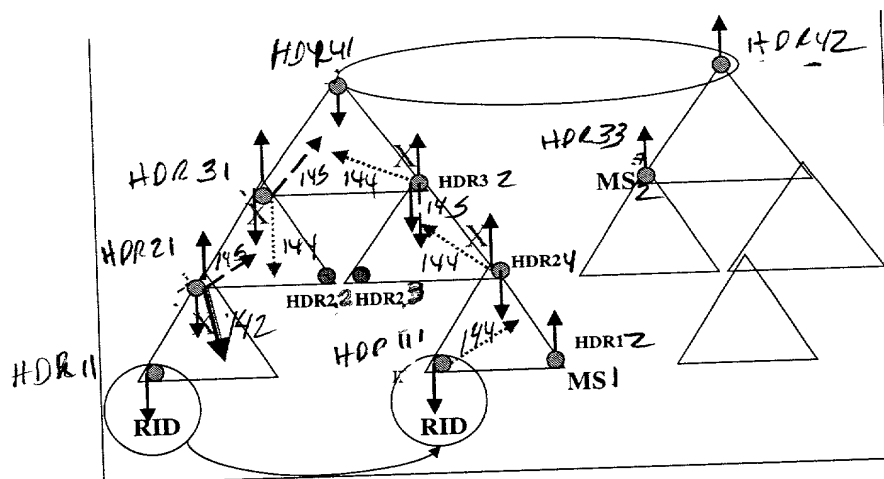


Fig. 28

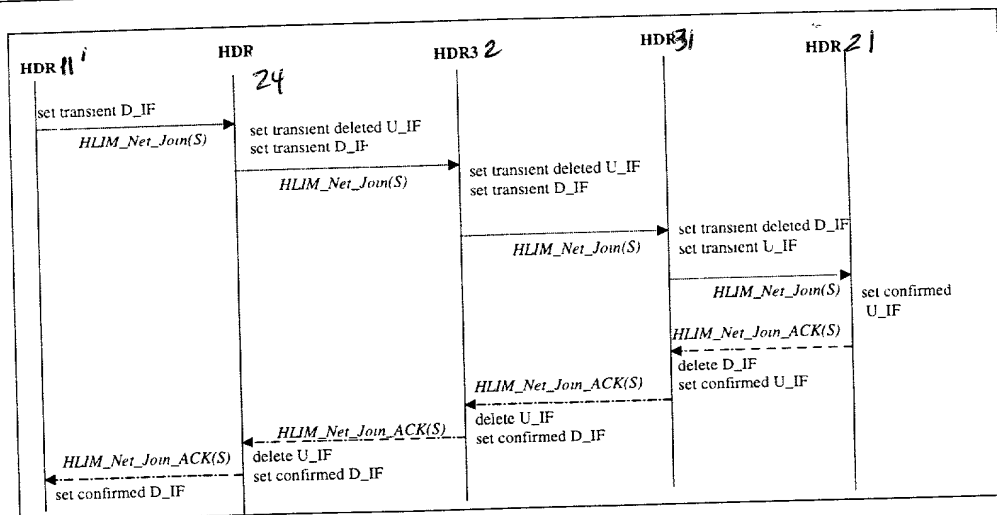


Fig. 29

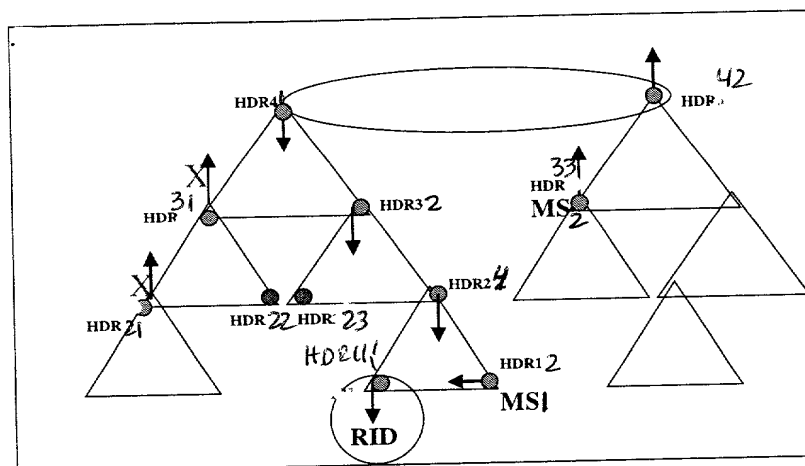


Fig. 30

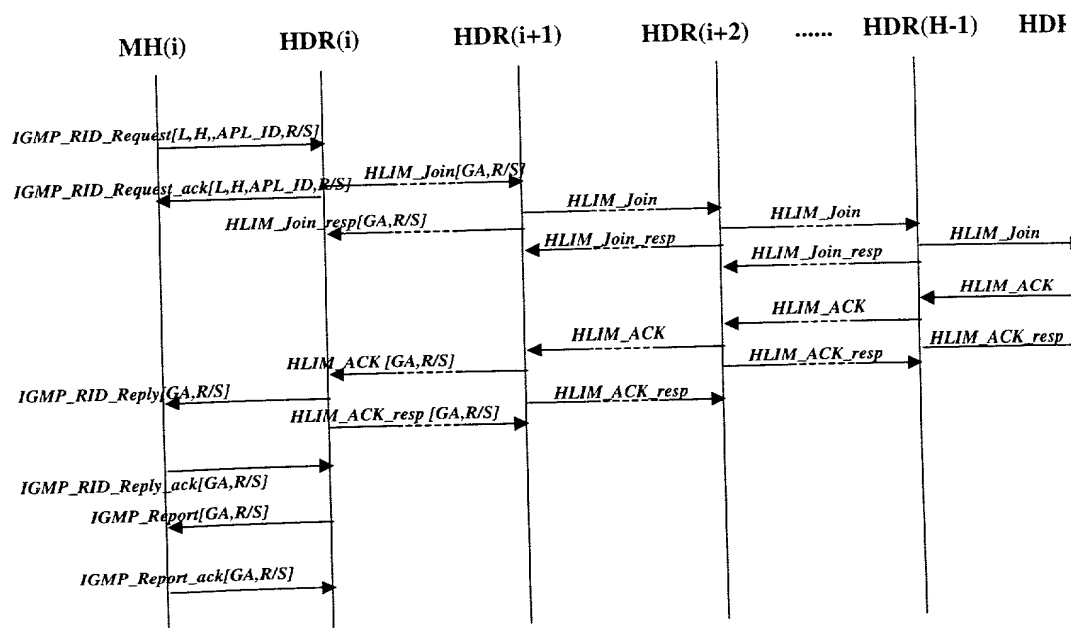


Fig. 31

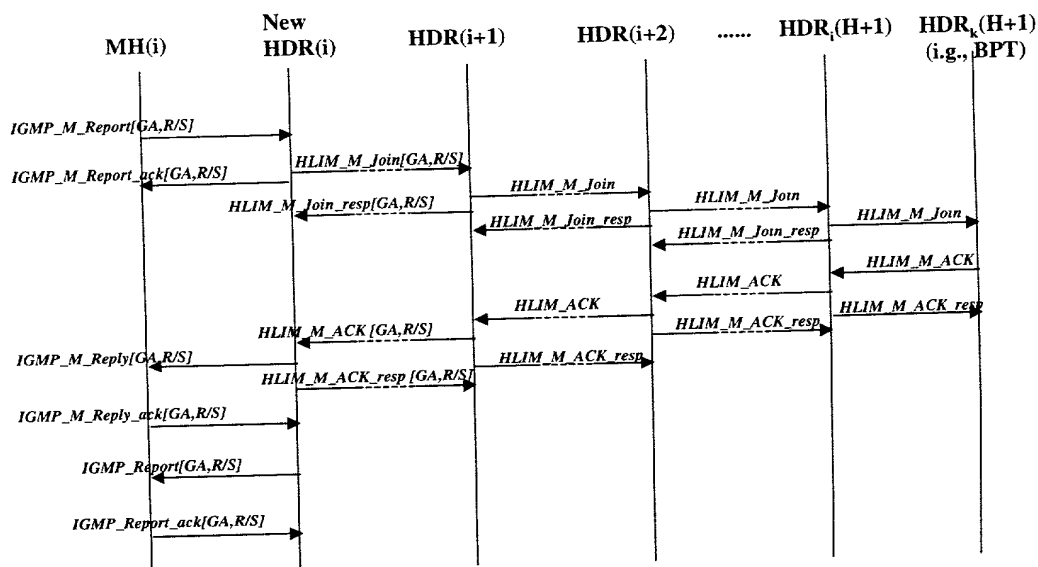
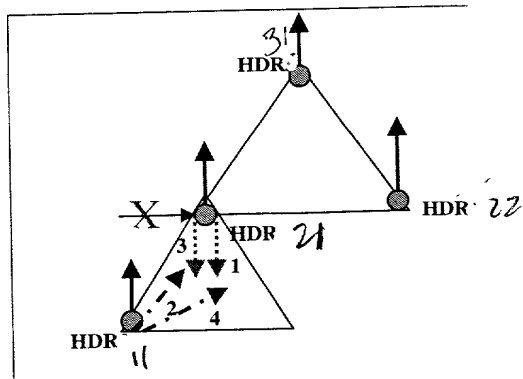


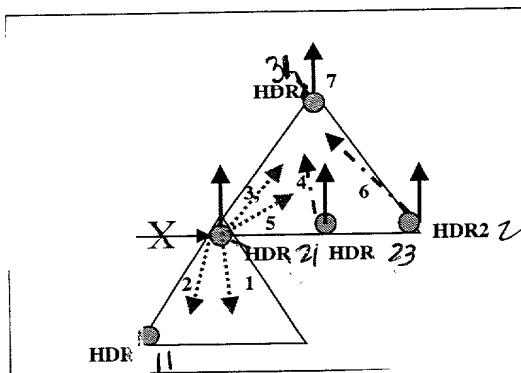


Fig. 32



APP1313  
Lee et al.

Fig. 33



APP1313  
Lee et al.

Fig. 34

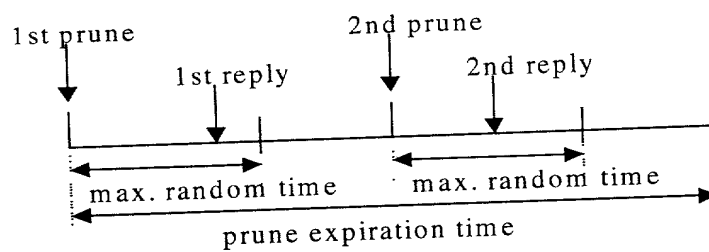


Fig. 35

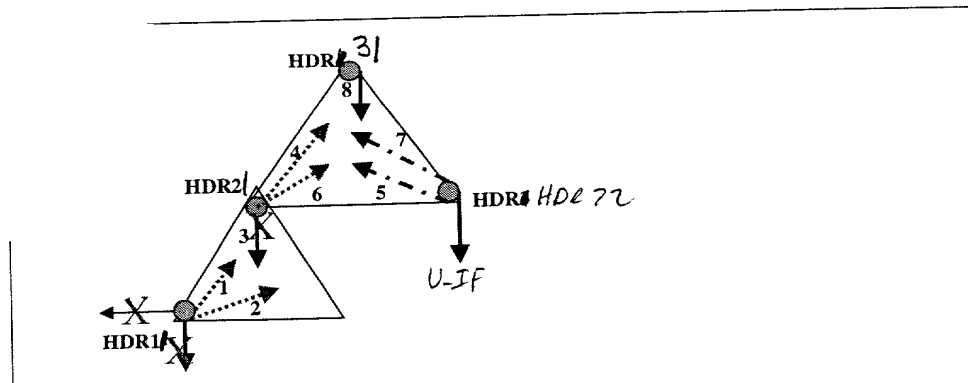


Fig. 36

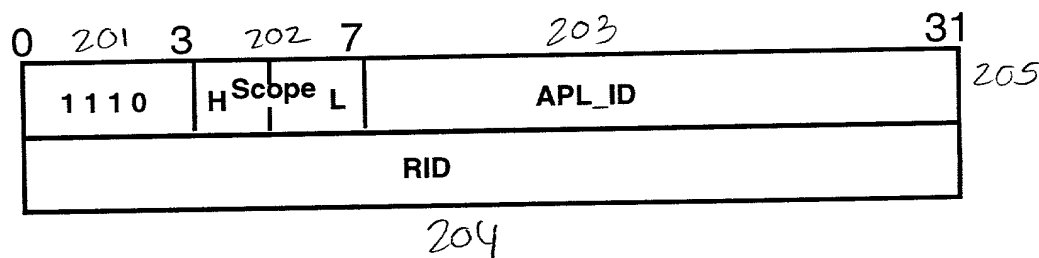


Fig. 37

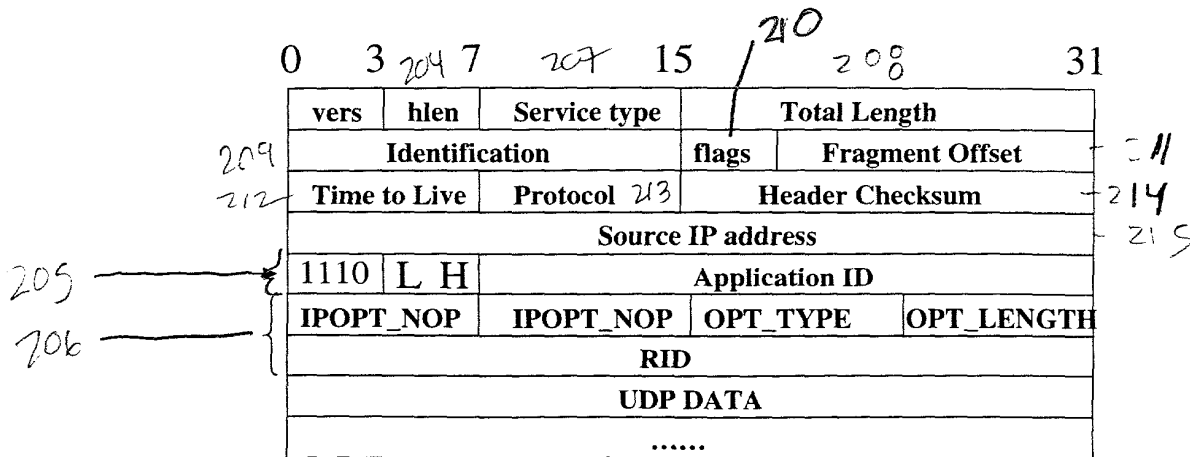


Fig. 38

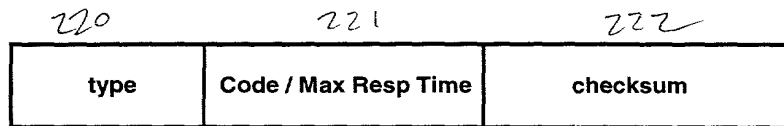


Fig. 39

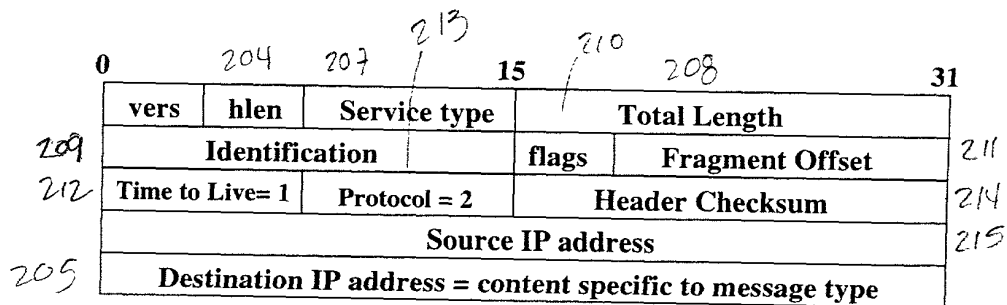


Fig. 40

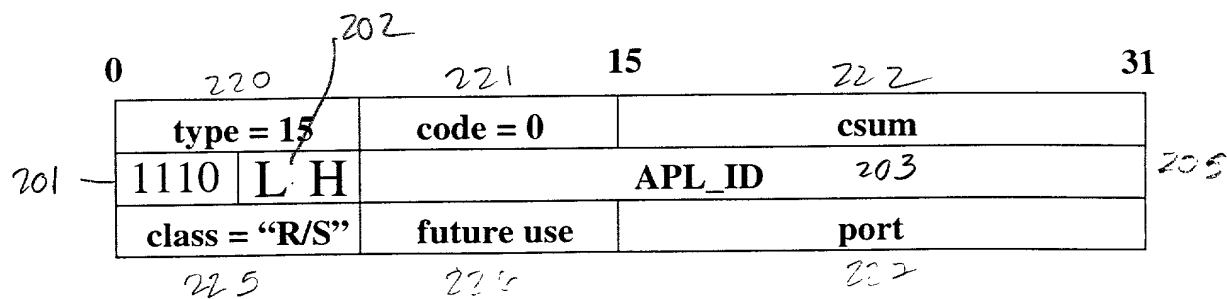


Fig. 41

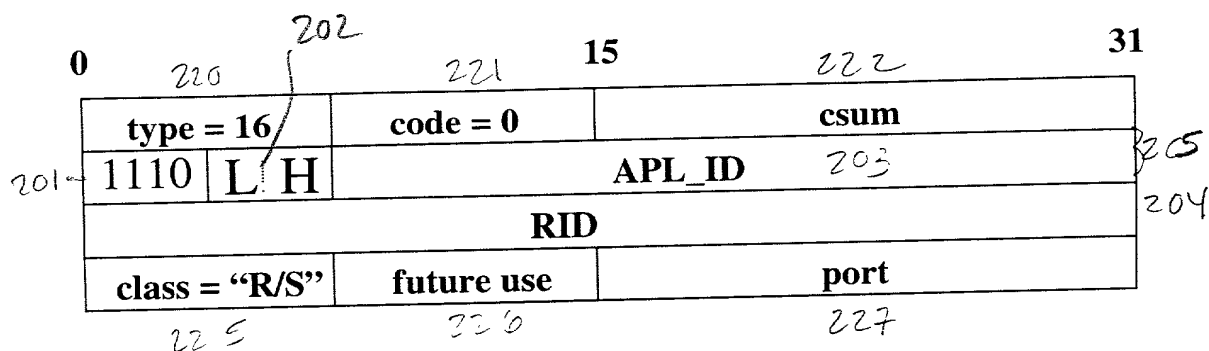


Fig. 42

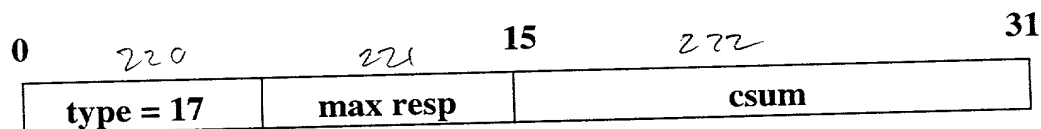
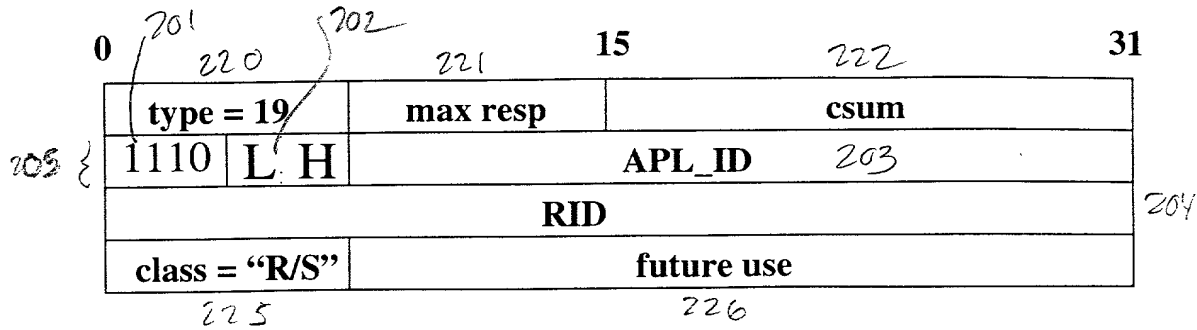
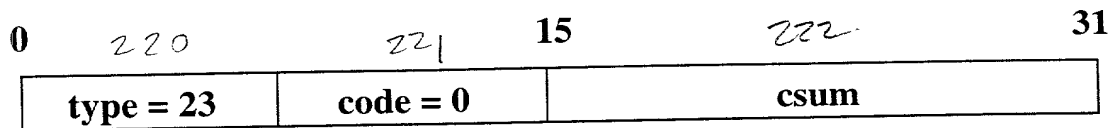


FIG. 43



APP1313  
Lee et al.

FIG. 44



APP1313  
Lee et al.

FIG. 45

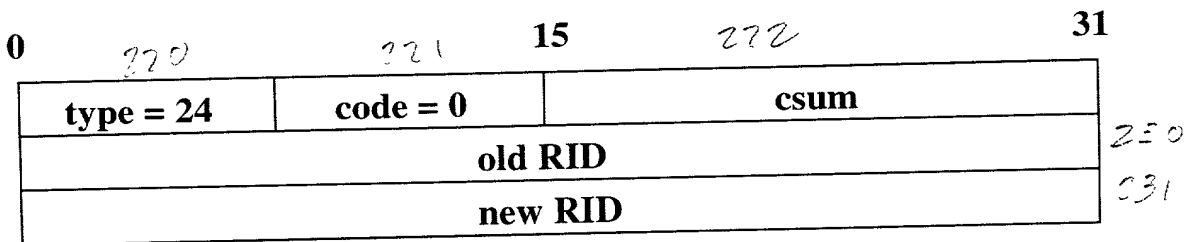


Fig. 46

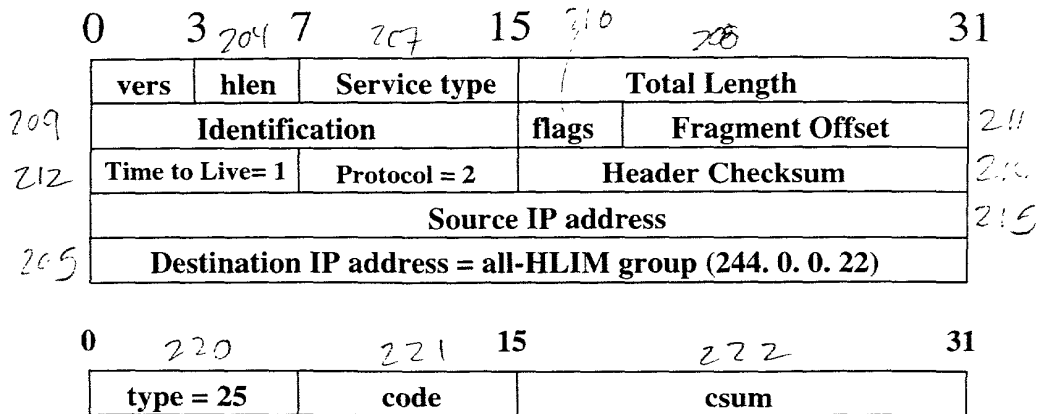


Fig. 47

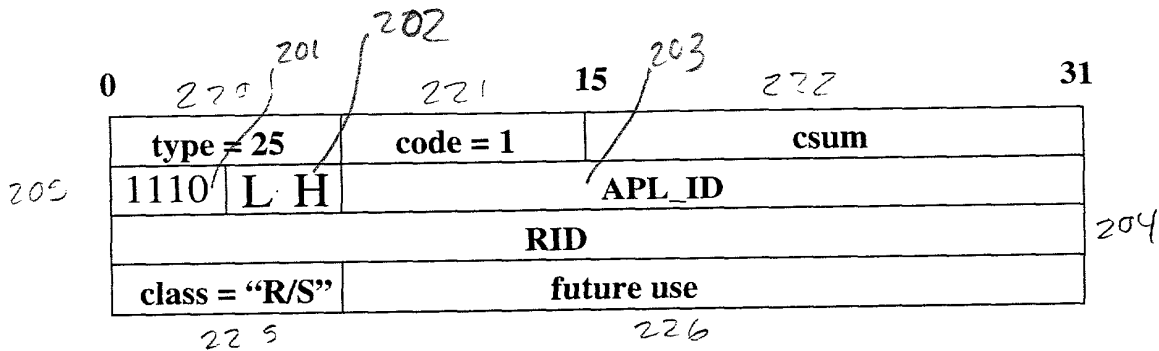


Fig. 48

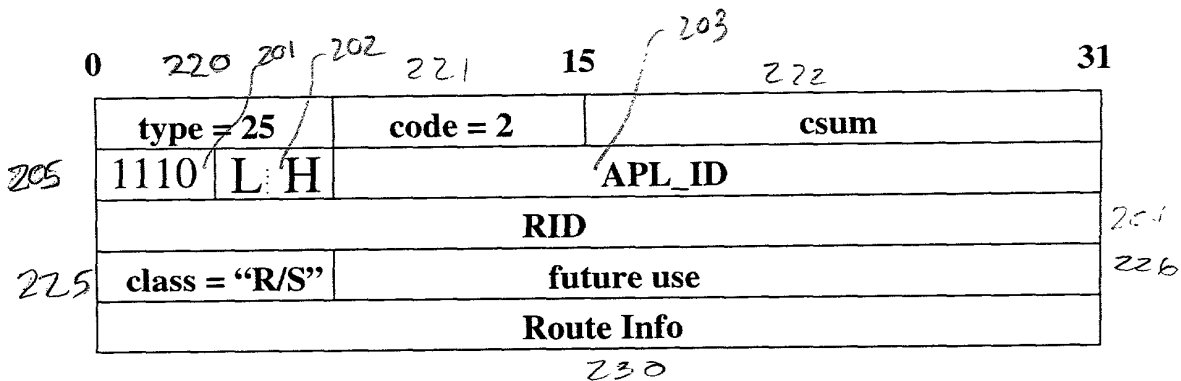


Fig. 49

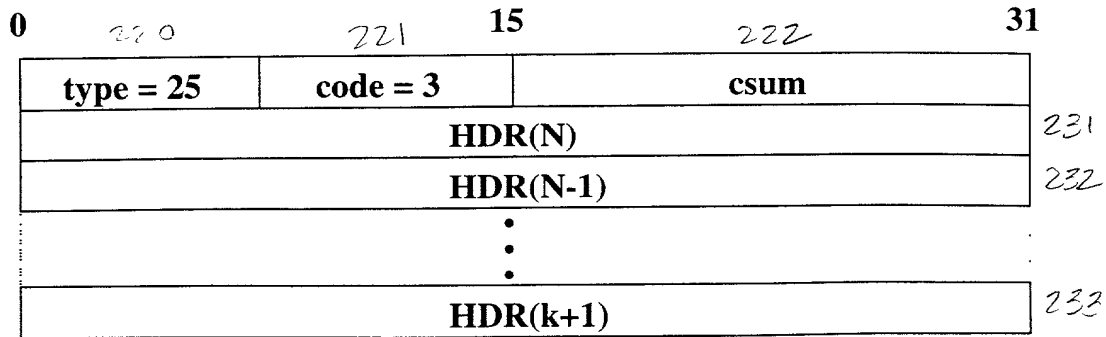


Fig. 50

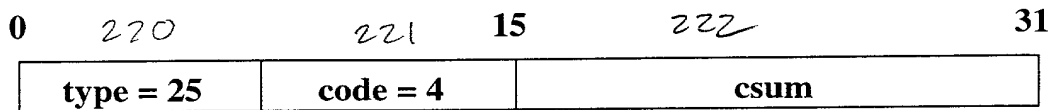


Fig. 51

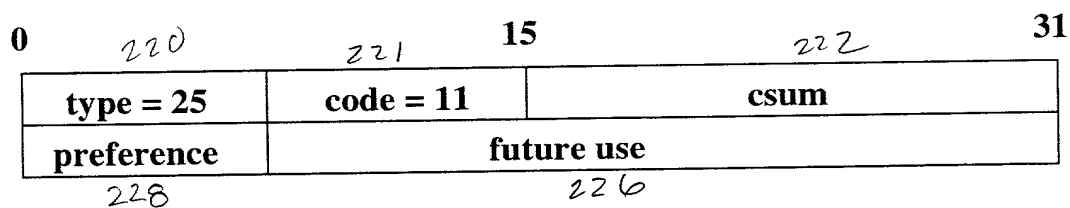


Fig. 52

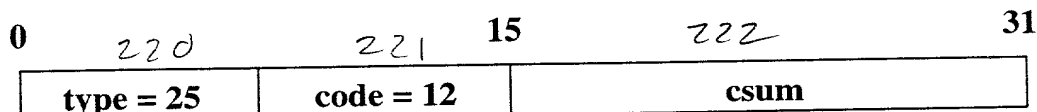


FIG. 53

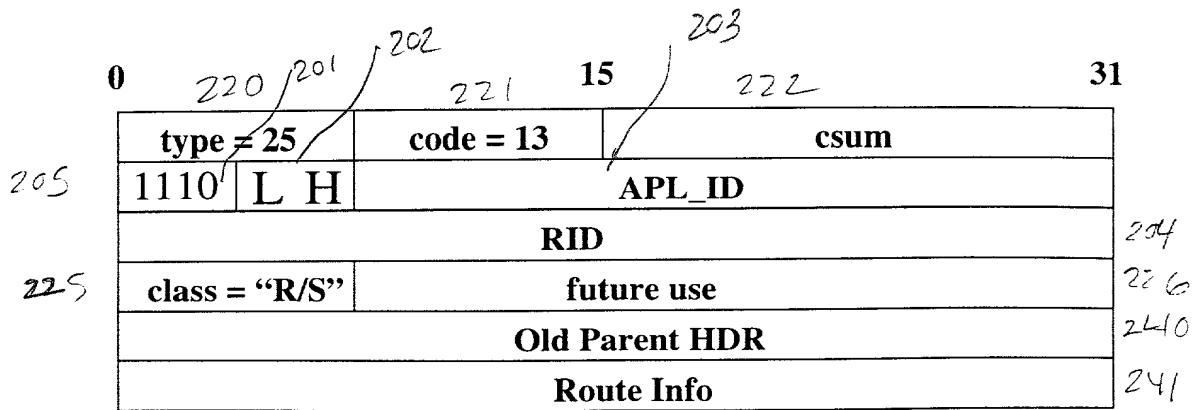


FIG. 54

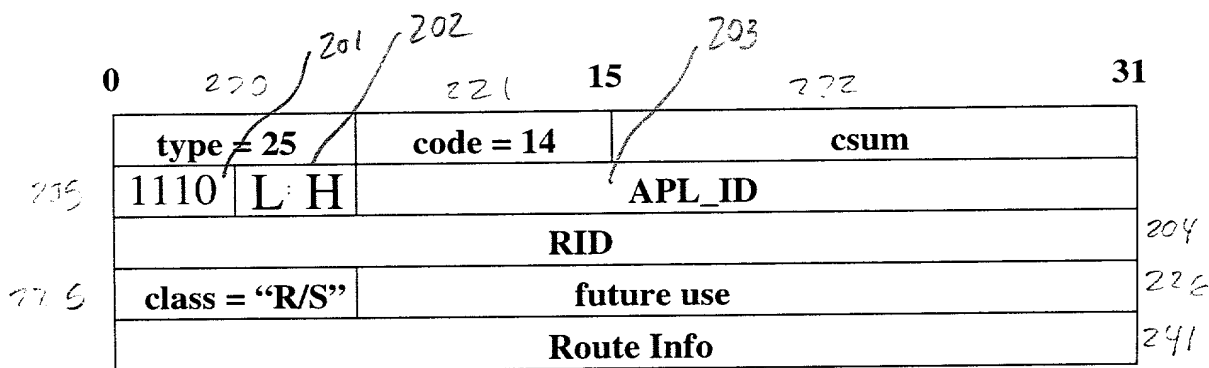


FIG. 55

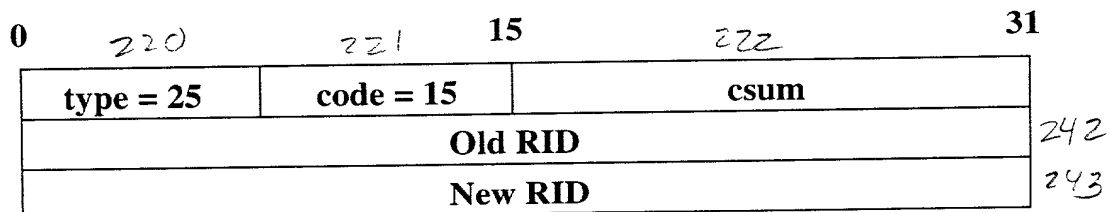




Fig. 56

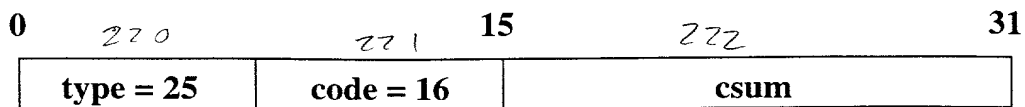


Fig. 57

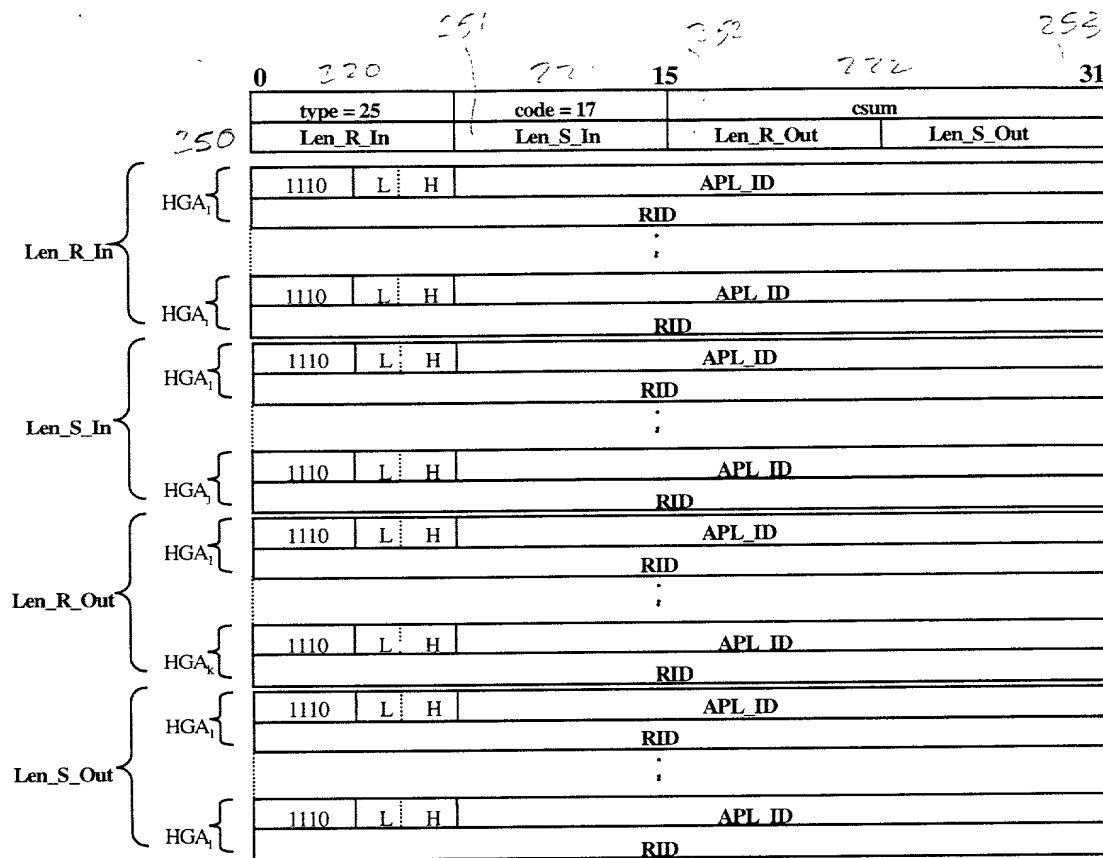


Fig. 58

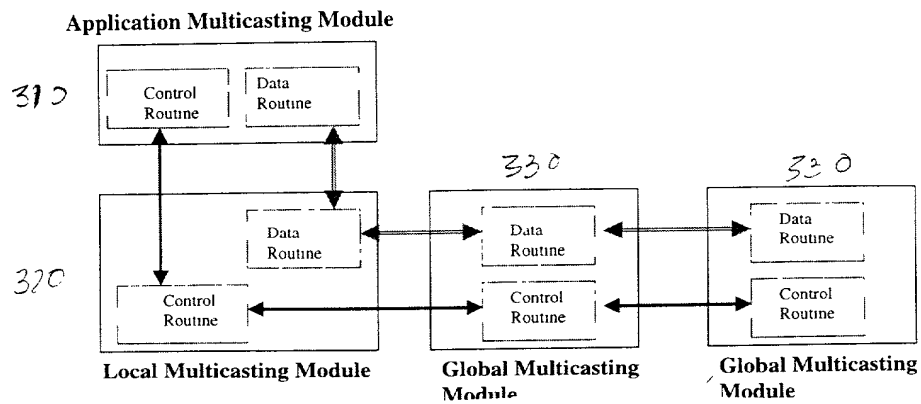


Fig. 59

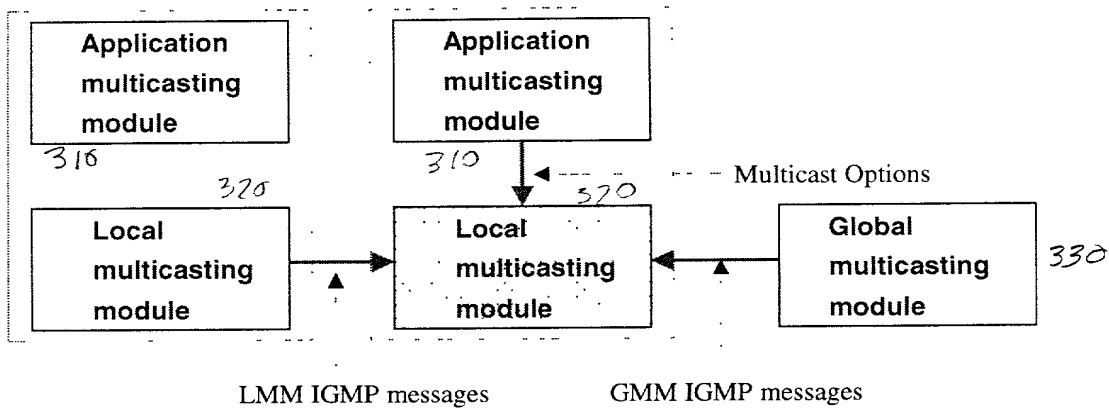


Fig. 60

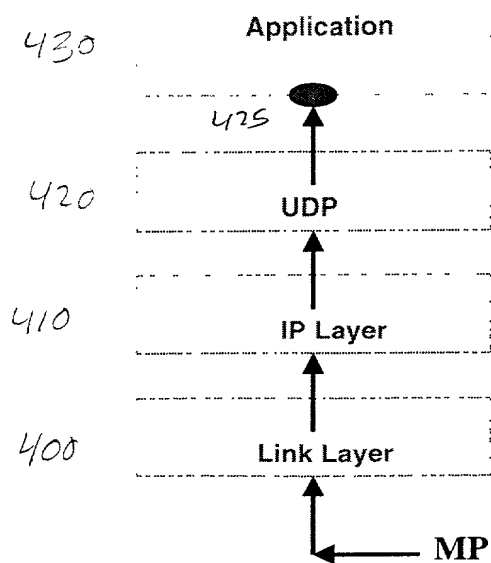


Fig. 61

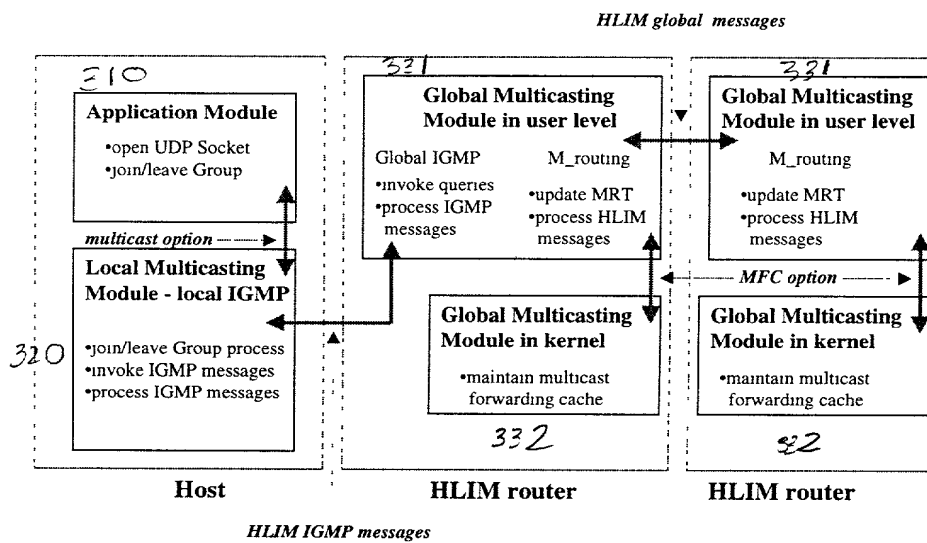


Fig. 62

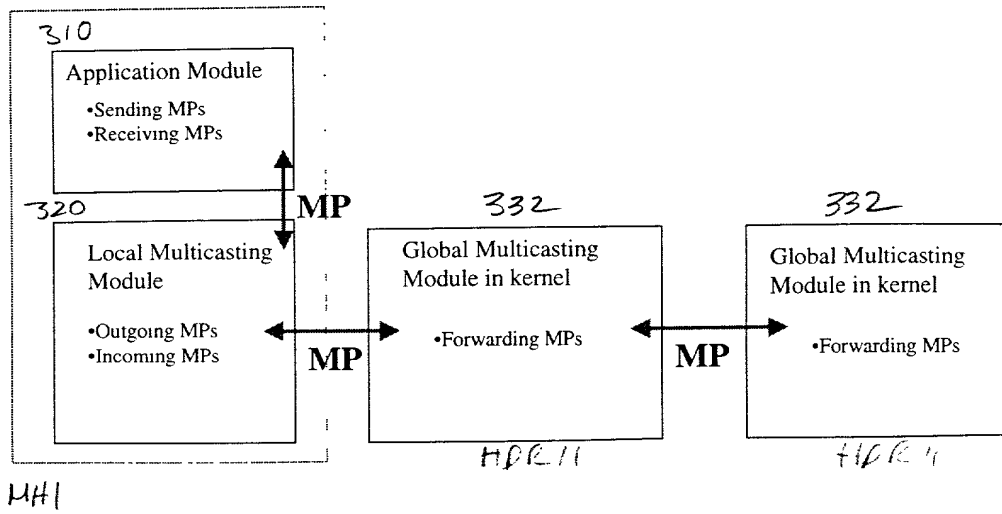


Fig. 63

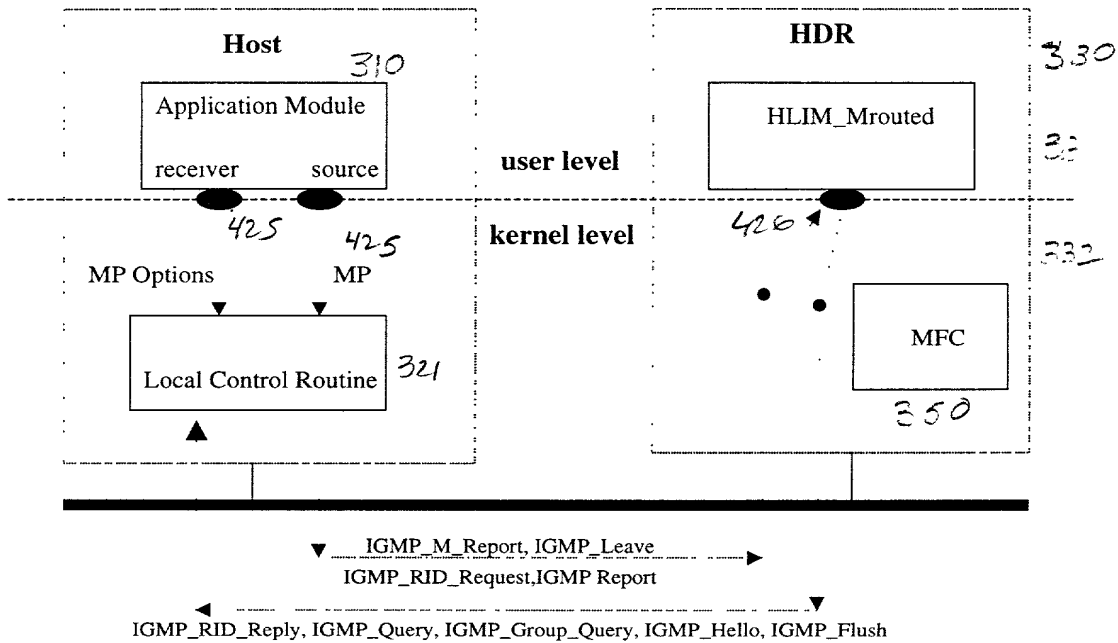


FIG. 64

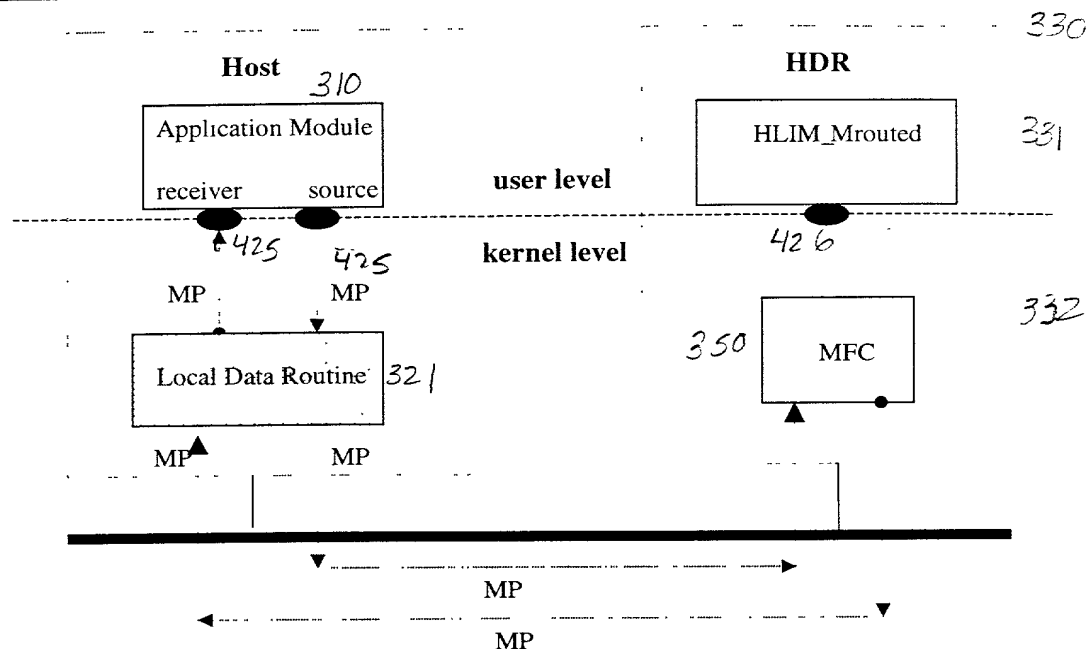


FIG. 65

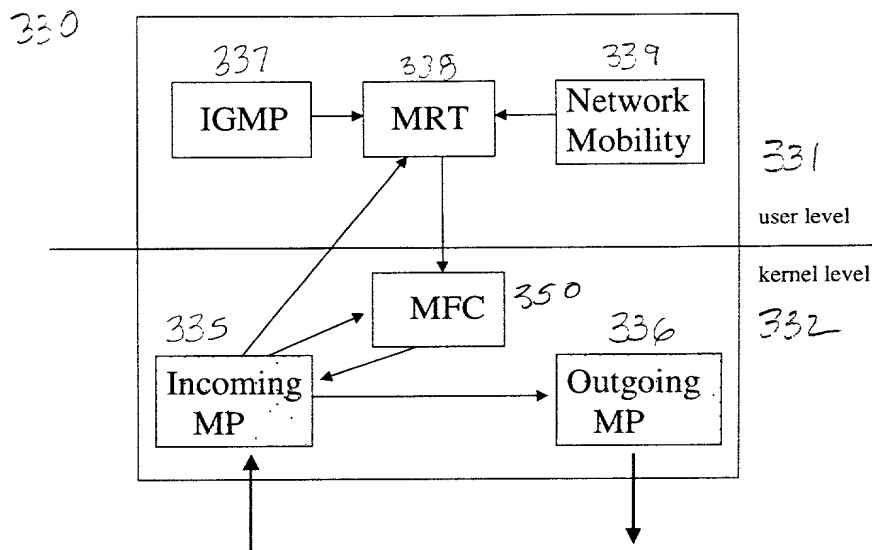


Fig. 66

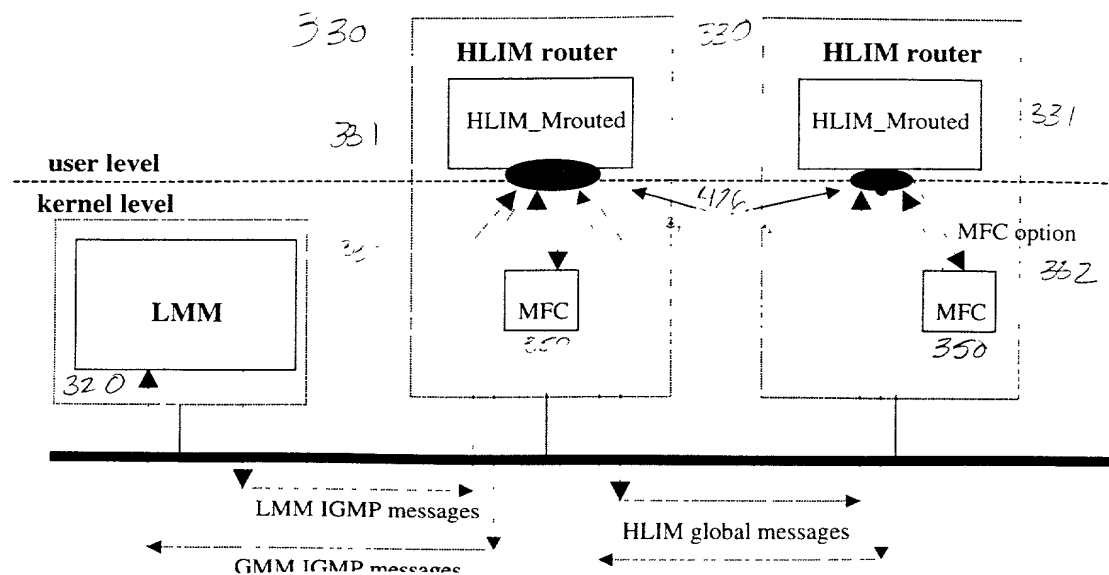


Fig. 67

